山核桃壳酸解制备木糖工艺与动力学*

余筱洁¹ 周存山¹ 张有做¹ 林 琳² 王允祥¹ 刘 斌³ (1. 浙江农林大学农业与食品科学学院, 临安 311300; 2. 江苏大学食品与生物工程学院, 镇江 212013; 3. 中国农业机械化科学研究院, 北京 100083)

【摘要】 研究了反应时间、温度及盐酸浓度对山核桃壳酸解制备木糖的影响。建立了山核桃壳酸解制备木糖的动力学模型,并通过实验验证了该模型。实验得最佳酸解制备木糖工艺参数为:反应温度 363.15 K,盐酸浓度 1.2 mol/L,反应时间 5 h。在实验范围内,得到山核桃壳酸解生成木糖的表观活化能为 70.91 kJ/mol,反应速率常数 k_1 与反应温度 T、盐酸浓度 C 的关系为 $\ln k_1 = 21.4540 - 8.529 <math>0/T - 5.063 2 \ln C$ 。

关键词:山核桃壳 酸解 木糖 反应动力学

中图分类号: X712 文献标识码: A 文章编号: 1000-1298(2011)06-0138-05

Process and Kinetics of Acid Hydrolysis from Carya Cathayensis Sarg. Shell to Xylose

Yu Xiaojie¹ Zhou Cunshan¹ Zhang Youzuo¹ Lin Lin² Wang Yunxiang¹ Liu Bin³

- $(1.\ School\ of\ Agriculture\ and\ Food\ Science\ ,\ Zhejiang\ A\ \&\ F\ University\ ,\ Lin\ 'an\ 311300\ ,\ Chinalago \ ,\ C$
- $2.\ School\ of\ Food\ and\ Biological\ Engineering\ ,\ Jiangsu\ University\ ,\ Zhenjiang\ 212013\ ,\ China$
 - 3. Chinese Academy of Agricultural Mechanization Sciences, Beijing 100083, China)

Abstract

Effects of reaction time, temperature and acid concentration of acid hydrolysis from *Carya cathayensis* Sarg. shell to xylose were investigated. The dynamics model of the acid hydrolysis was established. The model was verified by experiment. The optimum extraction parameters were: temperature was 363.15 K, concentration of hydrochloric acid was 1.2 mol/L and acid hydrolysis time was 5 h. The apparent activation energy of the transformation to xylose was 70.91 kJ/mol. The relationship between the reaction rate constant, temperature and acid concentration was as follows: $\ln k_1 = 21.4540 - 8.5290/T - 5.0632 \ln C$.

Key words Carya cathayensis Sarg. Shell, Acid hydrolysis, Xylose, Reaction kinetics

引言

目前,木糖在食品工业中的应用主要作为无热量甜味剂、食品抗氧化剂、风味改良剂、肉类香精原料等。自然界极少有游离状态的木糖,一般选择木聚糖或半纤维素(含多缩戊糖)含量较高的物质制取木糖,如各种禾木(稻草、麦秆、高粱秆、甘蔗渣等)^[1],以及各种农产品皮壳(花生壳、椰子壳、棉籽壳等)^[2]。国内外对木糖制取研究工作已有广泛的

研究^[3],然而常见的酸解半纤维制备木糖都是基于酸解效率、总糖、还原糖等研究,因此不能确切反应木糖的实际转化率及过程。已有的模型如响应面分析研究,不能很好描述半纤维素酸解过程的化学反应历程及动力学过程,因此有必要进行基于木糖得率的转化研究,建立相应的反应方程,测定动力学参数。

山核桃又名小核桃,山核桃壳半纤维素质量分数达25%~30%,山核桃壳半纤维素经酸解制备木

收稿日期: 2010-08-20 修回日期: 2010-11-26

^{*} 国家自然科学基金资助项目(30940058)

作者简介:余筱洁,实验师,主要从事生物材料资源化研究,E-mail:xiaojie629@163.com

糖可大幅度扩展原本废弃的山核桃壳^[4]的资源利用。

目前,越来越多的人对山核桃壳进行研究^[5-6], 而对于山核桃壳酸解制备木糖的工艺与历程未见报 道。本文研究山核桃壳酸解制备木糖的反应历程, 建立酸解反应的动力学模型与验证,确定反应速率 常数与反应活化能,建立反应速率与盐酸浓度、反应 温度的关系方程。

1 材料与方法

1.1 原料

原料取自临安市昌化镇,自然风干、粉碎(100 目 筛 网)。按 GB 5009.3—2010、GB/T 2677.10—1995、GB/T 747—2003 测定水、纤维素、木质素含量,得到 100 g 山核桃壳中含水 9.6 g、纤维素 30.9 g、半纤维素 27.3 g。

1.2 酸解

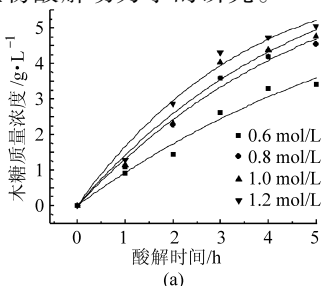
称取山核桃壳粉 40.00 g 于 250 mL 烧杯中,加入 0.6 $\langle 0.8 \rangle$ 1.0 $\langle 1.2 \rangle$ 1.1 mol/L 盐酸 150 mL,在 353.15 $\langle 363.15 \rangle$ 363.15 $\langle 373.15 \rangle$ 8 温度下酸解 1 $\langle 5 \rangle$ 6 h,用氢氧化钠溶液中和至 pH 值为 6 $\langle 7 \rangle$ 7,经抽滤去渣,得到酸解液。

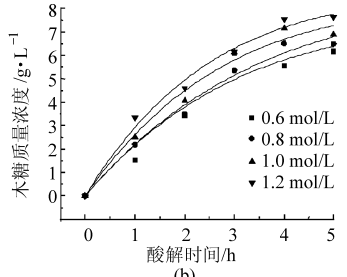
1.3 分析方法

木糖含量测定采用高效液相色谱(Waters Associates, Milford, MA, Bio-Rad Laboratories, Richmond, CA)分析。流动相为5 mmol/L 硫酸水溶液,流速 0.6 mL/min,柱温 40 ℃,进样量 20 μL,分析样品采用滤器(CA Membrane Filter, Pore: 0.22 μm, Diameter: 13 mm) 対滤^[6]。

1.4 反应动力学

半纤维素易水解,在稀酸催化下可完全酸解;纤维素通常在较高温度和酸浓度下发生酸解;而木质素较为稳定,在上述条件中一般不发生酸解。不同植物的组成和结构的不同,使得其酸解过程也有所区别,目前并没有精确描述酸解的过程,因此可简化酸解过程。实验采用 Saeman 模型^[7],该模型广泛用于植物酸解动力学的研究。





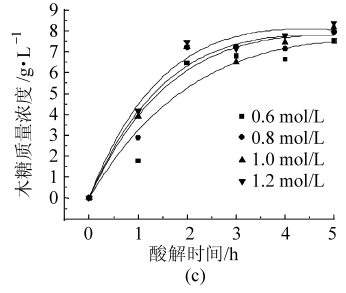


图 1 不同温度下酸解时间与盐酸浓度对木糖质量浓度的影响

(a) T = 353.15 K (b) T = 363.15 K (c) T = 373.15 K

Effects of reaction time and acid concentration on the content of xylose in hydrolysate in different temperatures

结合山核桃壳酸解反应机理,作如下假设:①不同种类山核桃壳的半纤维素由同型木聚多糖组成。②在酸解条件下,山核桃壳只有半纤维素酸解。③反应过程中酸浓度基本保持不变。④氢离子能迅速扩散到山核桃壳内部,使反应在山核桃壳表面和内部同时进行。⑤反应为均相不可逆反应。⑥木聚糖的降解与木糖的分解均为一级反应。假设纤维素和半纤维素的酸解反应为一级均相不可逆连串反应,山核桃壳酸解过程可引用 Saeman 模型,建立制备木糖的反应动力学模型

$$B = \frac{k_1 X_{a_0}}{k_2 - k_1} (e^{-k_1 t} - e^{-k_2 t})$$
 (2)

其中
$$X_{a_0} = \frac{1500X_a}{132L}(1-M)$$
 (3)

式中 B——酸解液中木糖质量浓度,g/L

 X_{a_0} ——木聚糖全部转化为木糖时酸解液中 木糖质量浓度,g/L

t-----反应时间,h

 X_a ——山核桃壳中木聚糖质量浓度,g/L

L---酸解反应固液比

M---山核桃壳中水分含量

经计算得到 X_{a_0} = 10.502 4 g/L,所以

$$B = \frac{10.5024k_1}{k_2 - k_1} (e^{-k_1 t} - e^{-k_2 t})$$
 (4)

2 结果与讨论

2.1 反应温度、反应时间和盐酸浓度对木糖质量浓度的影响

不同温度 T 和盐酸浓度 C 条件下,山核桃壳酸解液中木糖质量浓度随酸解时间的变化如图 1 所示。

由图 1 可知,在不同温度与同一盐酸浓度条件下,酸解液中木糖质量浓度随反应时间的延长而增大,5 h 时达到最大值。在相同酸解时间条件下,木糖质量浓度随盐酸浓度的增加而增大。由图 1c 可知,当温度为 373.15 K、盐酸浓度为 0.8、1.0、1.2 mol/L时,木糖质量浓度均随反应时间延长先增加,在 4 h 时基本达到稳定。

在反应温度相同的情况下,随着反应时间的增 加,酸解液中木糖质量浓度也随之增加。这是因为 随着酸解时间的增加,氢离子更多地进入山核桃壳 内部,与山核桃壳表面进行同步分解,木聚糖被逐渐 地分解转化为木糖,因此酸解液中的木糖质量浓度 会随着反应时间的增加而增加。同时,在相同反应 时间里,酸解液中的木糖质量浓度随着盐酸浓度的 增加而增加。这是因为盐酸浓度增加时氢离子的浓 度也随之增加,使得山核桃壳分解转化为木糖的速 率增加。拟合曲线的斜率均呈现出减小的趋势,即 酸解液中木糖质量浓度在相同的反应时间增量范围 中呈现减小的趋势。这是因为在相同温度的情况 下,随着反应时间与盐酸浓度的增加,木糖的生成速 率增大的同时,木糖的分解速率也增大,但是木糖生 成速率远远大于分解速率,使得酸解液中木糖质量 浓度增加,但是增加的速度却降低。

2.2 反应速率常数计算

将式(4)设置为 Origin 软件非线性曲线拟合 $^{[10]}$ 功能中的自定义函数,对实验结果进行非线性回归分析,作出拟合曲线(图 1),并求出反应速率常数 k_1 、 k_2 ,结果如表 1 所示。

 k_1 越大、 k_2 越小,则木聚糖全部降解为木糖所

表 1 反应速率常数

Tab. 1 Results of reaction rate constant

T/K	<i>C</i> ∕mol·L ⁻¹	k_1/h^{-1}	k_2/h^{-1}	k_1/k_2	R^2
353. 15	0.6	0. 093 6	0. 034 2	2. 74	0. 98
	0.8	0. 136 5	0.0373	3.66	0.99
	1.0	0. 147 9	0. 038 1	3.88	0.98
	1. 2	0. 178 4	0.0620	2. 88	0.98
363. 15	0.6	0. 238 5	0.0467	5. 11	0. 94
	0.8	0. 238 8	0.0256	9. 33	0. 99
	1.0	0. 293 2	0. 034 6	8.47	0.98
	1. 2	0. 333 8	0.0304	10. 98	0. 99
373. 15	0.6	0. 380 2	0.0552	6. 89	0.92
	0.8	0. 488 7	0.0620	7. 88	0.95
	1.0	0. 524 0	0.0662	7. 92	0.96
	1. 2	0. 576 9	0. 059 4	9. 71	0. 98

需时间越短,酸解过程木糖分解的数量越少,对山核 桃壳酸解制备木糖越有利,因此实验数据中 k_1/k_2 比值可反映水解条件优劣。从表1可看出,温度升 高可以加快反应速率,实验的数据 k, 基本符合规 律,即温度每升高10K,化学反应速率增加2~4倍。 对于 k_1 ,在相同温度下随盐酸浓度增加而增加;在 相同盐酸浓度下随温度增加而增加。这说明提高反 应温度与盐酸浓度有利于山核桃壳酸解转化为木 糖。对于 k,/k, 比值,在相同反应温度条件下随盐 酸浓度增加而增大;在相同盐酸浓度条件下,当盐酸 浓度小于0.8 mol/L时,随着反应温度的升高而增 大, 当盐酸浓度大于 0.8 mol/L 时, 随着反应温度的 升高先增加后降低。这就需要选择适当的反应温度 与盐酸浓度,因为随着反应温度提高与盐酸浓度增 加的同时,木糖分解速率也增加了。因此,实验最佳酸 解工艺因素选择 k_1/k_2 最大值,即反应温度 363.15 K、 盐酸浓度 1.2 mol/L、反应时间 5 h。 整个酸解过程 中,木糖的生成速率远远高于分解速率,因此着重研 究生成木糖的反应速率常数和反应活化能。

由表 1 可知,在 α = 0.01 置信水平上,所有回归系数均满足 $R > R_0$ (R_0 = 0.735,回归系数显著性检验临界值),表明对实验结果作非线性回归分析得出的拟合曲线与式(4)相关性显著。从图 1 中也可以看出拟合曲线与实验结果吻合,表明本文所作的假设和建立的简化模型合理,在此基础上建立的酸解过程数学模型能反映水解过程,预测实验结果。

2.3 反应活化能的计算

Arrhenius 方程体现了反应速率常数、反应温度和反应活化能之间的关系,其微分式[11]为

$$\frac{\mathrm{d}(\ln k)}{\mathrm{d}T} = \frac{E_a}{RT} \tag{5}$$

式中 k----反应速率常数

E_a——Arrhenius 活化能, J/mol R——气体常数, 8.314 J/(mol·K)

T──温度,K

其不定积分式[12~13]为

$$\ln k = \frac{-E_a}{RT} + \ln A \tag{6}$$

或
$$k = Ae^{-E_{a}/(RT)}$$
 (7)

式中 A——指前因子

由式(6)可知, $\ln k$ 与 1/T 呈线性关系, $\ln k$ 对 1/T 作图,所得直线斜率为 – E_a/R ,截距为 $\ln A$ 。

相同盐酸浓度下的 $\ln k_1$ 对 1/T 作图,结果如图 2 所示。不同盐酸浓度下的 $\ln k_1$ 与 1/T 作线性回归分析,可得到 $\ln k_1$ 与 1/T 关系的线性方程,求出不同盐酸浓度下的表观反应活化能 E_a 和 $\ln A$,结

果如表 2 所示。在 $\alpha = 0.01$ 的置信水平上,所有回归系数均满足 $|R| > R_0(R_0 = 0.917)$,因此在不同盐酸浓度下 $\ln k_1$,与 1/T 的线性关系均显著。

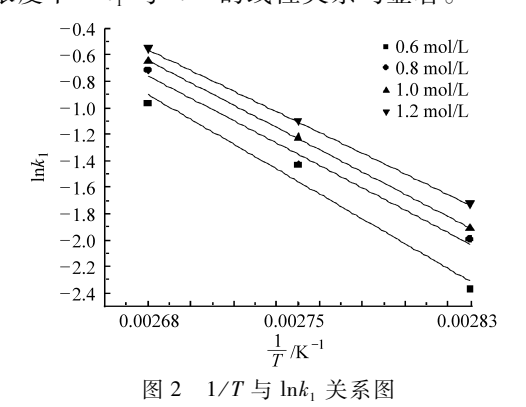


Fig. 2 Relationship between 1/T and $\ln k_1$

表 2 反应活化能计算结果

Tab. 2 Results of activation energy E_a

C/mol·L -1	$E_a/\mathrm{kJ \cdot mol^{-1}}$	$\ln\!A$	R^2
0.6	78. 15	24. 29	0. 977
0.8	70. 30	21. 93	0. 988
1.0	70. 13	21. 96	0. 999
1.2	65. 05	20. 42	0. 999

由式(5)可知,活化能与盐酸浓度无关,不会随着盐酸浓度的变化而变化。但是通过回归分析求出的不同盐酸浓度下反应活化能略有差异,并且随着盐酸浓度的增加而有所下降。其中原因之一是由实验误差引起的,此外还与设定反应假设过程有关。本研究建立反应动力学模型时,假设酸解反应是一级连串反应,即酸解过程中木糖会在酸作用下发生一级分解反应,而事实上木糖在低酸条件下很可能不发生分解反应,并且木糖的分解反应也不一定完全符合一级反应。因此,不同酸解条件下采用同一个模型计算,就产生了结果偏差。通过实验,在不同盐酸浓度下的反应活化能相差不大,因此取其平均值70.91 kJ/mol 为山核桃壳酸解制备木糖的反应活化能。

活化能 E_a 与指前因子 A 都是重要的动力学参数。由式(6)看出, E_a 值越小,反应速率 k_1 越大。一般化学反应的活化能在 $42 \sim 420$ kJ/mol。由于不同反应的活化能不同,故可发生反应的温度也不同。文献[13]表明,当 $E_a < 63$ kJ/mol 时,在室温下瞬时反应; $E_a \approx 100$ kJ/mol 时,在室温或稍高温度下反应; $E_a \approx 170$ kJ/mol 时,在 473. 15 K 左右反应; $E_a \approx 300$ kJ/mol 时,在 1 073. 15 K 左右反应。实验测得 $E_a = 70.91$ kJ/mol,在室温或稍高温度下反应,与实验的温度(353. 15 ~ 373. 15 K) 相互验证。

2.4 反应速率常数计算公式推导

将求出的反应活化能代入式(6)得

$$k_1 = A e^{-7.091 \times 10^4 / (RT)} \tag{8}$$

由式(8)可知,当求出指前因子 A 后,就可以得到反应速率常数随温度的变化式。依据碰撞理论,指前因子的物理意义为碰撞频率因子。在山核桃壳酸解过程中,碰撞频率因子与盐酸浓度有关,因此指前因子为盐酸浓度的函数,两者满足[11-13]

$$A = A_0 C^n \tag{9}$$

式中 A₀、n——常数

将式(9)两边同时取对数得

$$\ln A = \ln A_0 + n \ln C \tag{10}$$

式(10)表明, $\ln A$ 与 $\ln C$ 呈线性关系, 作 $\ln A$ - $\ln C$ 图,则直线斜率为n,截距为 $\ln A_0$ 。根据表 2 的数据作线性回归分析,求出直线方程为

$$\ln A = 21.4540 - 5.0632 \ln C \tag{11}$$

回归系数 $R^2 = 0.900 8$, 在 $\alpha = 0.01$ 置信水平上,满足 $|R| > R_0(R_0 = 0.917)$,因此求出的 A - C 关系式可用于 A 的计算。

将式(11)代入式(6)中,可得反应速率常数与 反应温度、盐酸浓度的关系式为

$$\ln k_1 = 21.4540 - 8.5290/T - 5.0632 \ln C \qquad (12)$$

由式(12)可知,增加反应温度 T 可以提高反应速率 k_1 ,增加盐酸浓度 C 反而降低了反应速率 k_1 。这和实验得到反应速率常数结果分析相吻合。增加盐酸浓度 C 不仅降低了反应速率常数 k_1 ,而且会增加制备过程中酸碱消耗与木糖的分解速率 k_2 ,减小 k_1/k_2 值,同时也加剧了设备腐蚀与废弃物排放量。通过提高反应温度 T 增大 k_1 不会带来上述不利影响。因此,工业上应尽量采用低浓度酸(小于0.8 mol/L)、高温酸解条件以增大 k_1 。

3 结论

- (1) 在假设山核桃壳解过程为一级连串不可逆 均相反应基础上,建立了酸解反应动力学模型。
- (2) 山核桃壳酸解过程中,木糖的生成反应速率常数 k_1 远大于木糖的分解反应速率常数 k_2 ,适当提高反应温度、降低盐酸浓度可提高 k_1/k_2 比值,有利于生成木糖的反应。其最佳酸解制备木糖的工艺因素 为:反应温度 363.15 K、盐酸质量浓度1.2 mol/L、反应时间 5 h。
- (3) 山核桃壳酸解生成木糖的表观反应活化能为 70.91 kJ/mol,反应速率常数 k_1 与反应温度 T、盐酸浓度 C 满足 $\ln k_1 = 21.454~0~8.529~0/T~5.063~2 ln <math>C_{\odot}$

参考文献

- 1 Lavarack B P, Griffin G J, Rodman D. The acid hydrolysis of sugarcane bagasse hemicellulose to produce xylose, arabinose, glucose and other products [J]. Biomass and Bioenergy, 2007, 23(5):367 ~ 380.
- 2 Herrera A, Téllez-Luis S J, Ramírez J A, et al. Production of xylose from sorghum straw using hydrochloric acid [J]. Journal of Cereal Science, 2003, 37(3):267 ~ 274.
- 3 石荣铭,梁莉丽. 常温酸水解法从稻壳中提取木糖的研究[J]. 食品科技,2007(12):212~214.

 Shi Rongming, Liang Lili. Production of xylose from the rice husk in acid hydrolys is ing in normal temperature [J]. Food Science and Technology, 2007(12):212~214. (in Chinese)
- 4 杜冬云,金传明,余大银. 从玉米芯中提取木糖的试验研究[J]. 湖北师范学院学报:自然科学版,1996,16(3):104~106. Du Dongyun, Jin Chuanming, Yu Daying. A test of the making xylose from corncob [J]. Journal of Hubei Normal University: Natural Science, 1996,16(3):104~106. (in Chinese)
- 5 苑雅萍, 赵洪云, 秦香芹, 等. 山核桃壳化学成分的研究[J]. 黑龙江医药, 2006, 19(1): 33~34. Yuan Yaping, Zhao Hongyun, Qin Xiangqin, et al. Study on compositions in the shell of walnut [J]. Heilongjiang Medicine Journal, 2006, 19(1): 33~34. (in Chinese)
- 6 Girisuta B, Janssen L P B M, Heeres H J. Green chemicals: a kinetic study on the conversion of glucose to levulinic acid [J]. Chem. Eng. Res. Des., 2006, 84(5): 339 ~ 349.
- 7 Miller G L. Use of dinitrosalicylic acid reagent for the determination of reducing sugars [J]. Anal. Chem., 1959, 31(3): 426 ~ 428.
- 8 Aguilar R, Ramrez J A, Garrote G, et al. Kinetic study of the acid hydrolysis of sugar cane bagasse [J]. Journal of Food Engineering, 2002, 55(4): 309 ~ 318.
- 9 王正烈,周亚平,李松林,等. 物理化学[M]. 北京:高等教育出版社,2002:123~124.
- 10 刘春晖, 凌敏, 张宏建, 等. 核桃壳苯酚离解活化动力学研究[J]. 生物质化学工程, 2009, 43(3): 1~4. Liu Chunhui, Ling Min, Zhang Hongjian, et al. The study of dissociation and activation of walnut shell with phenol [J]. Biomass Chemical Engineering, 2009, 43(3): 1~4. (in Chinese)
- Rahman S H A, Choudhury J P, Ahmad A L. Production of xylose from oil palm empty fruit bunch fiber using sulfuric acid [J]. Biochemical Engineering Journal, 2006, 30(1): 97 ~ 103.
- 12 Keikhosro K, Shauker K, Mohammad J T. Conversion of rice straw to sugars by dilute-acid hydrolysis [J]. Biomass and Bioenergy, 2006, 30(3):247 ~ 253.
- 13 Shu C Y, Alan B, David R S. Kinetic characterization for dilute sulfuric acid hydrolysis of timber varieties and switchgrass [J]. Bioresource Technology, 2008, 99(9):3855 ~ 3863.